

ハドロン施設での ストレンジネス核物理 の今後

研究会「高密度核物質に挑む実験の将来－施設・装置の観点から」

2015/12/4

新学術「中性子星核物質」AO1班代表

高橋俊行 (KEK-IPNS/J-PARC)

Contents

- J-PARC K1.8ビームラインでのSKSスペクトロメータ
　　イントロダクションとして
- 最近の実験から
- 今後の実験
- Summary

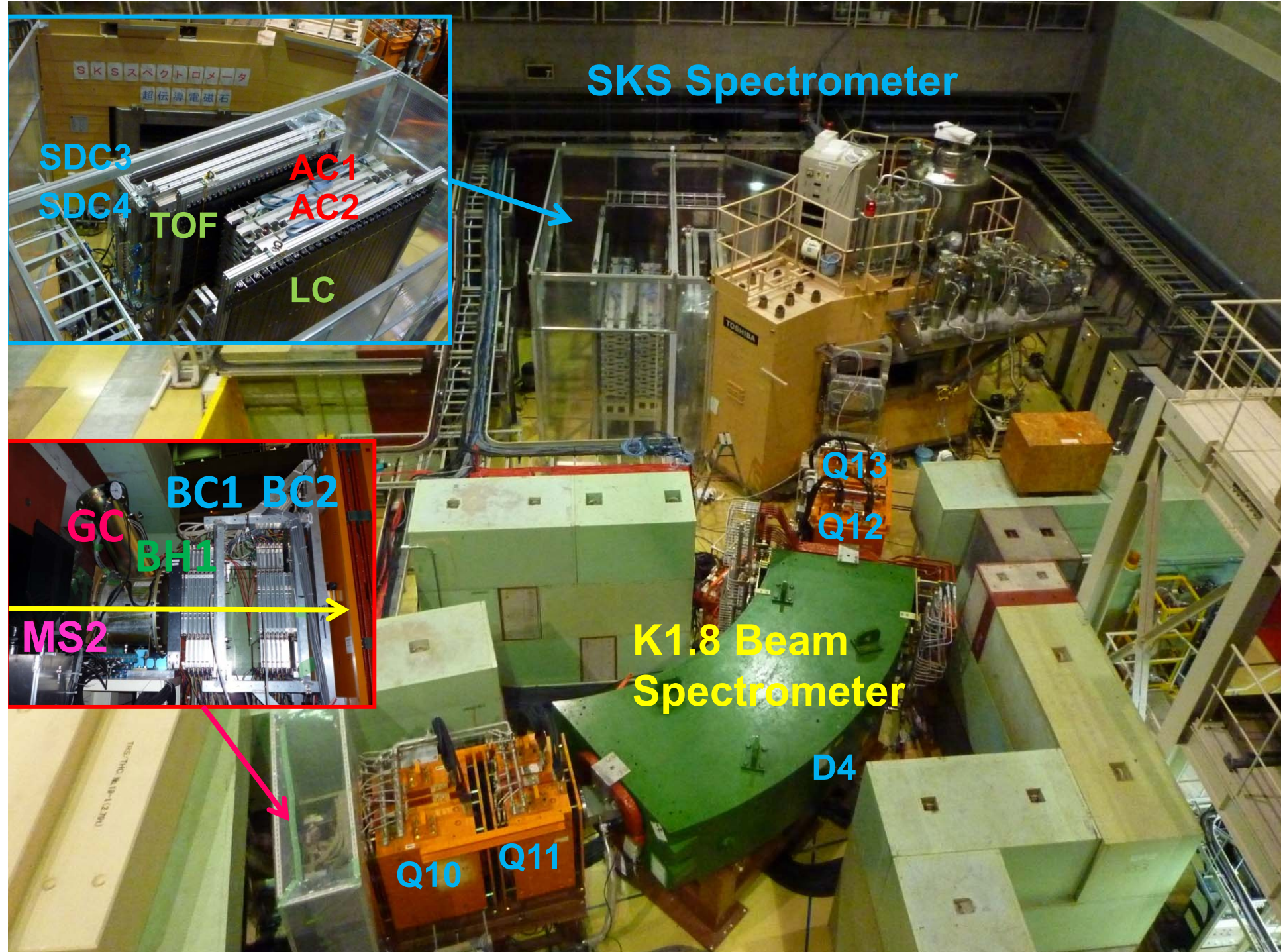
SKS実験@K1.8 これまでの歴史と成果

- Commissioning 2009/10-2010/2
 - PTEP 02B010(2010)
- E19 (Search for penta-quark Θ^+) 2010/10-11, 2012/2
 - PRL **109**, 132002(2012) / PRC **90**, 035205(2014)
 - 学位取得3名
- E27 (Search for K^-pp bound state) 2012/6
 - PTEP **2014**, 101D03(2014) / PTEP **2015**, 021D01(2015)
 - 学位取得1名
- E10 (Search for neutron-rich ${}^6_{\Lambda}H$) 2012/12-2013/1
 - PLB 729, 39(2014)
 - 準備中論文1
 - 学位取得2名
- E13 (γ -ray spectroscopy of ${}^4_{\Lambda}He$ and ${}^{19}_{\Lambda}F$) 2015/4, 6
 - PRL **115**, 222501 (2015)
 - 学位取得予定4名
- E05-pilot (Ξ -hypernucleus ${}^{12}_{\Xi}Be$) 2015/11
 - 学位取得予定1名

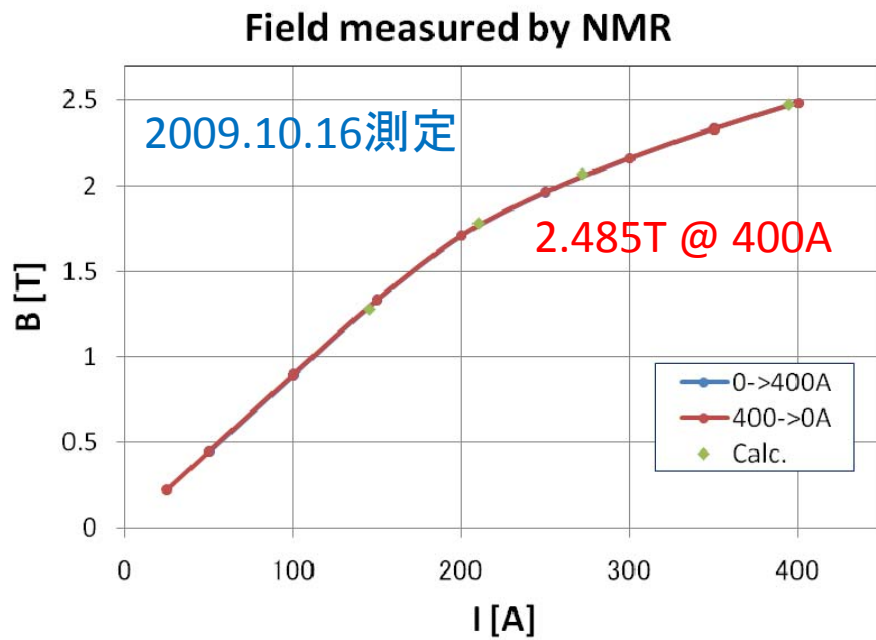
5 Experiments, 7 papers, 6 Ph.Ds

SKS@K1.8 組立 2009/1/20-2/15





Commissioning in October 2009



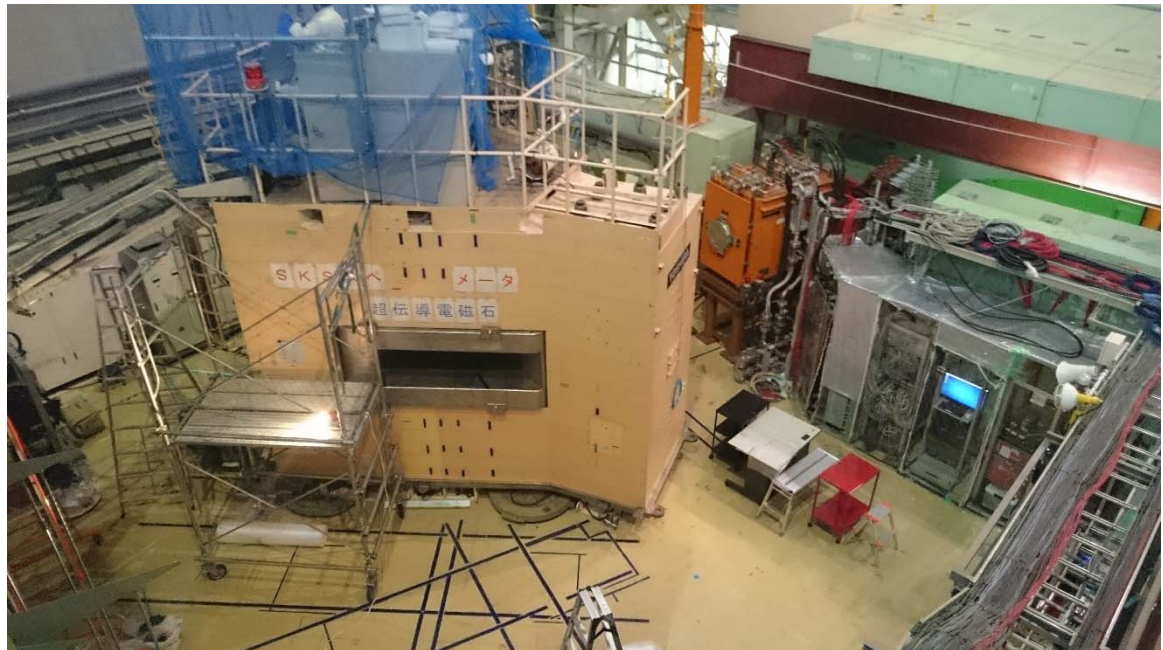
K1.8ビームラインでのSKS実験終了

2015年11月19日 10:00 E05-pilot データ収集終了



検出器等解体・撤去作業完了

2015/11/27



今後

- SKSは南側 K1.1エリアへ移設(2016/2/1 -)
 - ハハイパー核ガンマ線精密分光、弱崩壊
- K1.8エリアにKURAMAを設置し、E07(エマルジョン)実験を開始
 - ダブルストレンジネス系の研究
 - ✗ ハ核、ミクロン、ミクロン原子X線分光、H粒子
 - ΣN 散乱実験

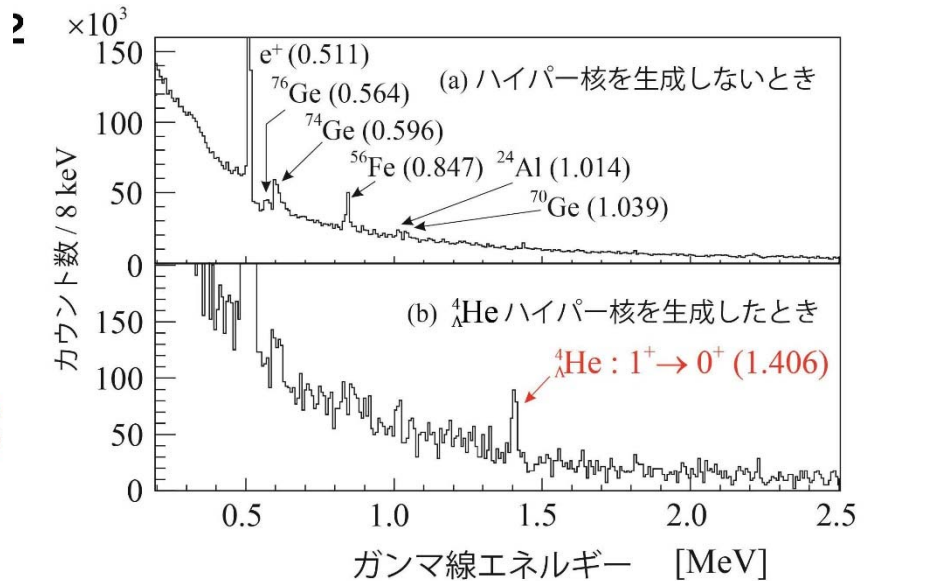
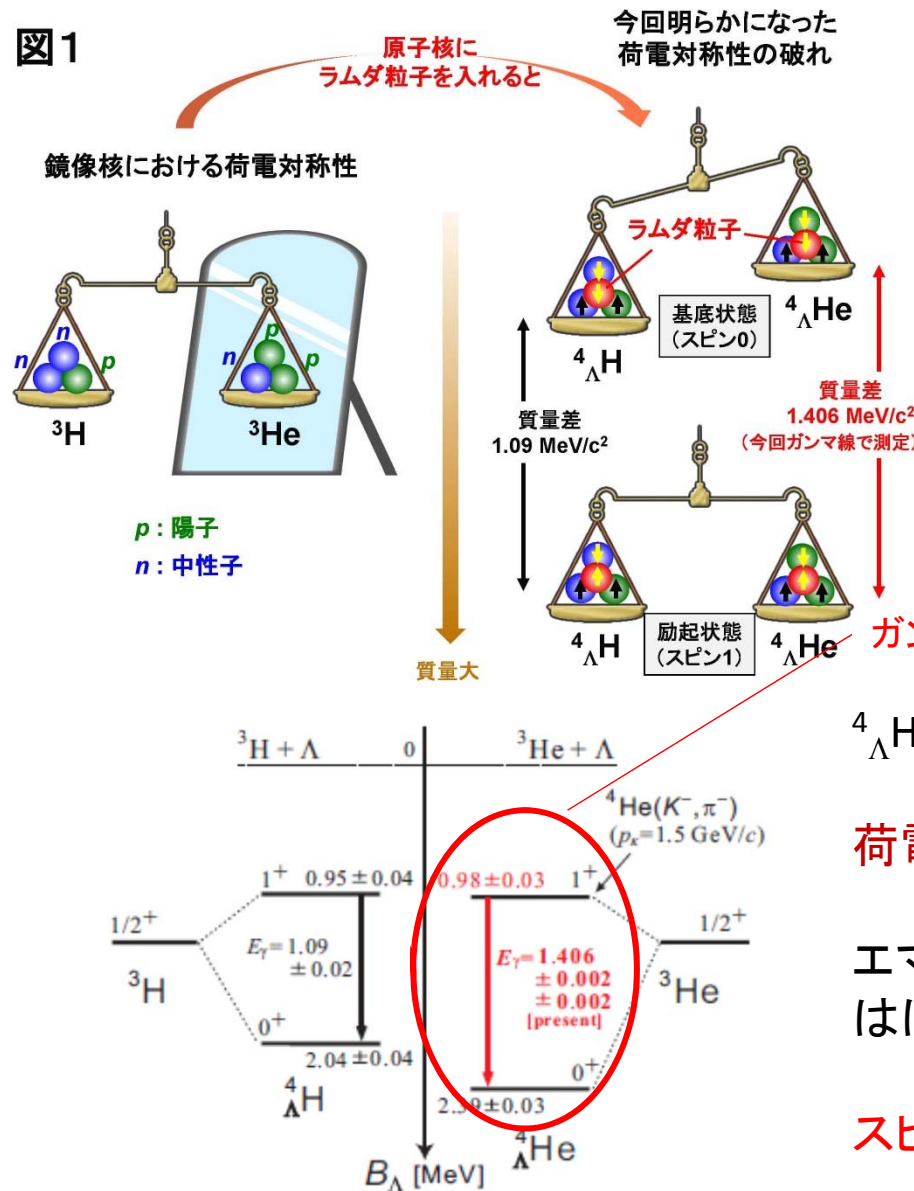
最近の実験から

最近(2015年度)の実験

- ${}^4_{\Lambda}\text{He}$, ${}^{19}_{\Lambda}\text{F}$ のガンマ線分光(E13)
⇒ 大きな荷電対称性の破れ(CSB)の観測
- エマルジョン実験(E07)に向けたStudy
⇒ Emulsion/SSDの位置合わせ
潜像が蓄積されたエマルジョンでの飛跡認識テスト
- ${}^{12}\text{C}(\text{K}^-, \text{K}^+)$ 反応による ${}^{12}_{\Xi}\text{Be}$ 分光(E05-pilot)
永江さんの講演

E13: Spin-dependent CSB in ΛN interaction

図1



ガンマ線測定により $^{4}_{\Lambda}\text{He}^*$ の励起エネルギーを精密に決定した。

$^{4}_{\Lambda}\text{H}^*$ の励起エネルギーと大きく違う。

↓

荷電対称性の大きな破れ

エマルジョンデータを採用すると、 1^+ 状態は破れはほとんどなく 0^+ 状態は大きい。

↓

スピン依存性 $\Leftrightarrow \Sigma N - \Lambda N$ 混合による効果？

E13実験：論文出版＆プレスリリース

Observation of Spin-Dependent Charge Symmetry Breaking in ΛN Interaction :
Gamma-Ray Spectroscopy of ${}^4_{\Lambda}\text{He}$

ΛN 相互作用におけるスピニ依存の荷電対称性の破れの観測： ${}^4_{\Lambda}\text{He}$ ガンマ線分光

Physical Review Letters **115**, 222501 (2015)

(published 2015/11/24)

“Editor’s Suggestion”に選ばれました。

PRL **115**, 222501 (2015)

PHYSICAL REVIEW LETTERS

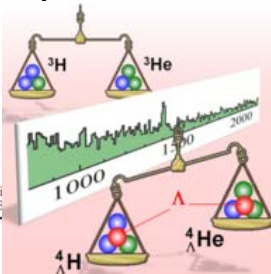
week endi
27 NOVEMBER



Observation of Spin-Dependent Charge Symmetry Breaking in ΛN Interaction: Gamma-Ray Spectroscopy of ${}^4_{\Lambda}\text{He}$

T. O. Yamamoto,¹ M. Agnello,^{2,3} Y. Akazawa,¹ N. Amano,⁴ K. Aoki,⁵ E. Botta,^{3,6} N. Chiga,¹ H. Ekawa,⁷ P. Evtoukhovitch,⁸ A. Feliciello,³ M. Fujita,¹ T. Gogami,⁷ S. Hasegawa,⁹ S. H. Hayakawa,¹⁰ T. Hayakawa,¹⁰ R. Honda,¹⁰ K. Hosomi,⁹ S. H. Hwang,⁹ N. Ichige,¹ Y. Ichikawa,⁹ M. Ikeda,¹ K. Imai,⁹ S. Ishimoto,⁵ S. Kanatsuki,⁷ M. H. Kim,¹¹ S. H. Kim,¹¹ S. Kinbara,¹² T. Koike,¹ J. Y. Lee,¹³ S. Marcello,^{3,6} K. Miwa,¹ T. Moon,¹³ T. Nagae,⁷ S. Nagao,¹ Y. Nakada,¹⁰ M. Nakagawa,¹⁰ Y. Ogura,¹ A. Sakaguchi,¹⁰ H. Sako,⁹ Y. Sasaki,¹ S. Sato,⁹ T. Shiozaki,¹ K. Shiratori,¹⁴ H. Sugimura,⁹ S. Suto,¹ S. Suzuki,⁵ T. Takahashi,⁵ H. Tamura,¹ K. Tanabe,¹ K. Tanida,⁹ Z. Tsamalaidze,⁸ M. Ukai,¹ Y. Yamamoto,¹ and S. B. Yang¹³

(J-PARC E13 Collaboration)



プレスリリース(11/25付)

配布先：宮城県政記者会、文部科学記者会、科学記者会、原子力規制庁記者会（仮称）、茨城県政記者クラブ、筑波研究学園都市記者会



平成27年11月25日

報道機関 各位

国立大学法人 東北大学 大学院理学研究科
大学共同利用機関法人 高エネルギー加速器研究機構
国立研究開発法人 日本原子力研究開発機構
J-PARCセンター

J-PARC ハドロン実験施設で
“奇妙な粒子”が原子核の荷電対称性を破る現象を発見

¹³Department of Physics and Astronomy, Seoul National University, Seoul 151-747, Korea

¹⁴Research Center of Nuclear Physics, Osaka University, Ibaraki 567-0047, Japan

(Received 12 August 2015; published 24 November 2015)

D.S.系の本格的研究に向けて(1) — K⁻ビーム強度&純度@K1.8 —

Duration: 5.51 sec. ESS1/ESS2: ±250kV (max. 375kV)
 Spill length: 2.0-2.1 sec. IFH: ±110mm (full open)
 $38.6\text{kW} = 4.43 \times 10^{13}$ ppp Mom: ±180mm (full open)

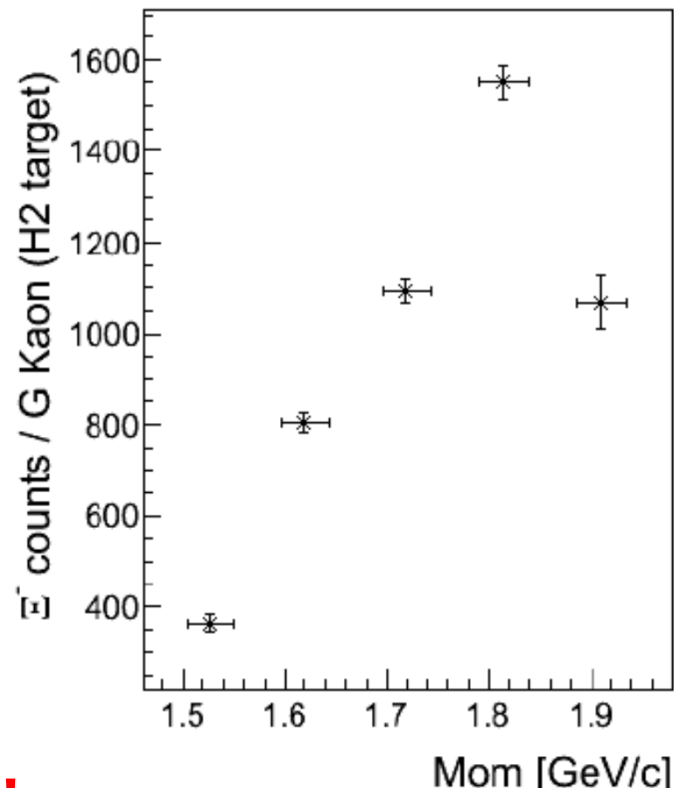
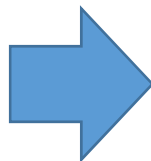
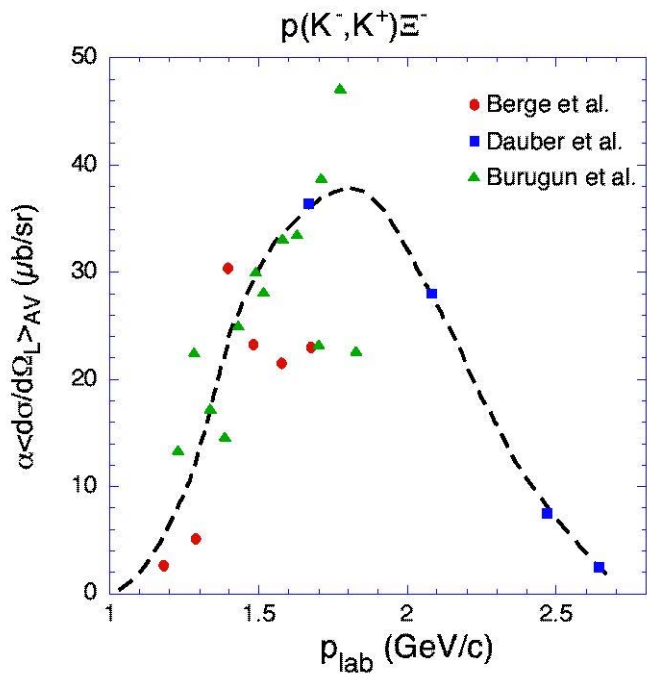
p [GeV/c]	K⁻/spill	π⁻/spill	prim.	vertical slit condition
1.9	480k	590k	38.6kW	IFV:3.3/0.3mm MS1/2:±1.11mm
1.8	500k	550k	31.2kW	IFV:3.3/0.3mm MS1/2:±1.25mm
	580k	750k	38.6kW	IFV:3.2/0.0mm MS1/2:±1.4/1.36mm
1.7	500k	520k	38.6kW	IFV:3.5/0.1mm MS1/2:±1.6mm
1.6	530k	500k	38.6kW	IFV:3.7/-0.1mm MS1/2:±1.7mm
1.5	530k	470k	38.6kW	IFV:4.0/-0.4mm MS1/2:±2.2mm

100kW(ユーロコイン,Pt)標的では、
 >1M kaons/spillが期待できる。



D.S.系の本格的研究に向けて(2) — Ξ^- 生成断面積の運動量依存性 —

$K^- + "p" \rightarrow K^+ + \Xi^-$ 反応がD.S.系への入口



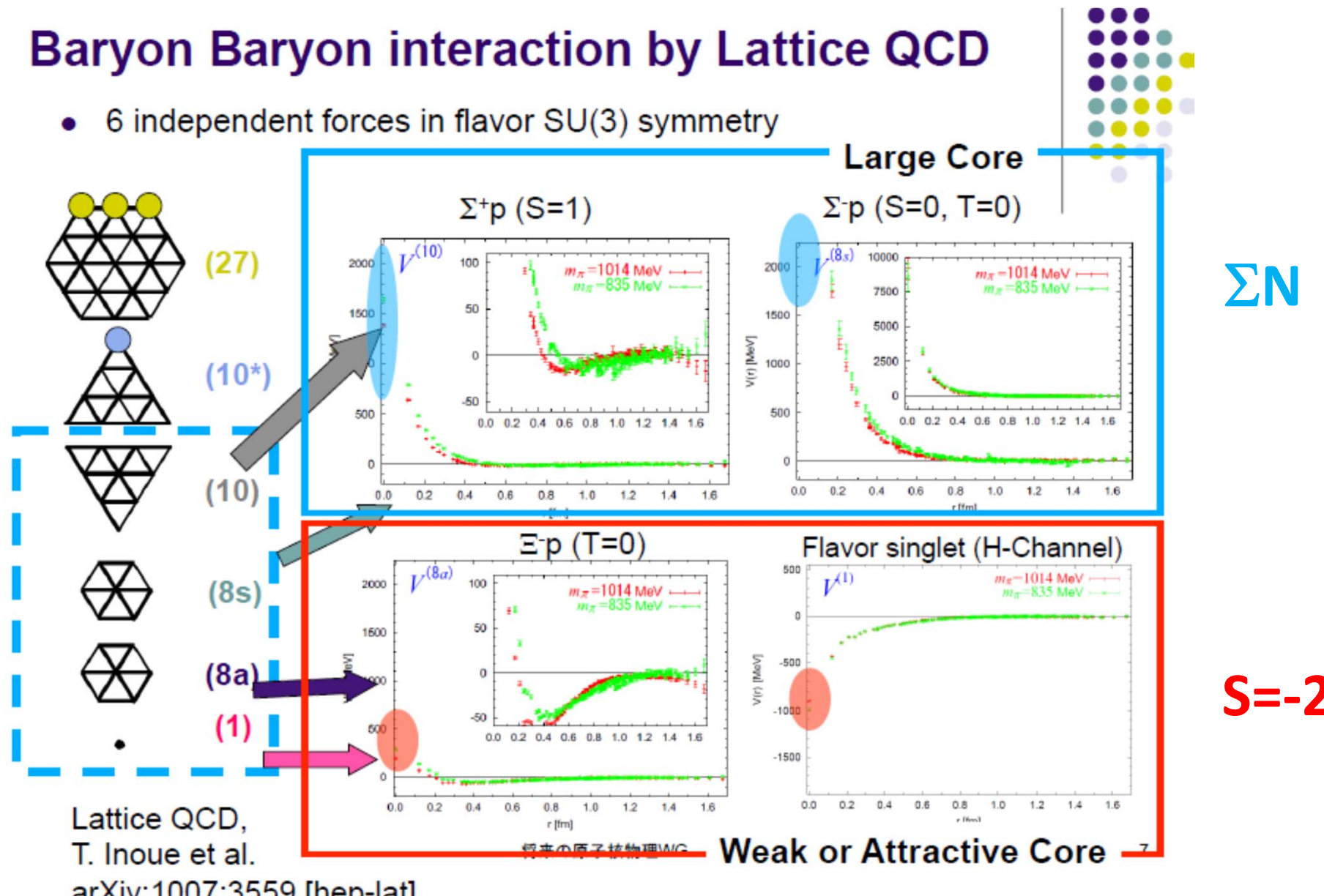
1.8 GeV/c がやはり最適！

今後の実験

Baryon間相互作用 — 核力の斥力芯の源を探る

Baryon Baryon interaction by Lattice QCD

- 6 independent forces in flavor SU(3) symmetry



(Approved) Experiments at K1.8

- E07: Emulsion Exp. for D.S. Nuclei
- E03: X-rays from Ξ^- -Fe atom
- E05: $^{12}_{\Xi}\text{Be}$ spectroscopy by the $^{12}\text{C}(\text{K}^-, \text{K}^+)$
- E10: n-rich Λ hypernuclei: $^9\text{Be}(\pi^-, \text{K}^+) ^9_{\Lambda}\text{He}$
- E40: ΣN scattering
- E42: H dibaryon search (stage-1)

Outline of E07

Making S=-2 nuclear chart

$\Lambda\Lambda$ -Nuclei, Ξ -Nuclei, H -particle

⇒

$\Lambda\Lambda$, ΞN , and $\Xi N \rightarrow \Lambda\Lambda$ interactions

① Hybrid-scan method

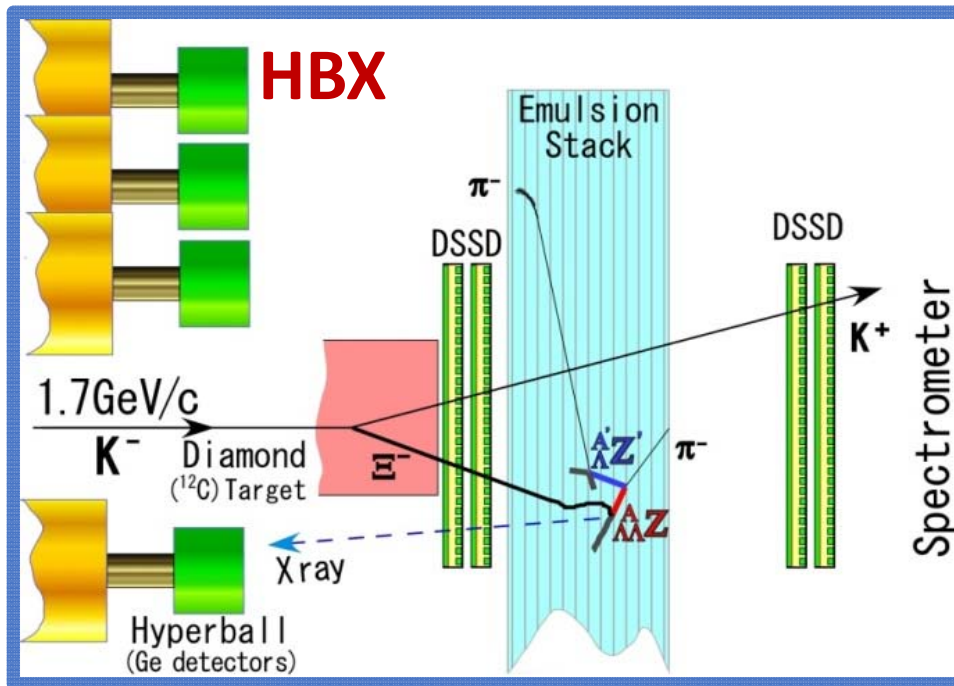
$10^4 \Xi^-$ stop in the emulsion

⇒ 100 D.S.N ($\times 10$ of previous)

Automatic scan of X-track
using counter(SSD) information

② Overall-scan method

Search 3-vertex events w/o counter
 $\times 10$ events of H.S. are expected.



③ X-ray measurement by HBX

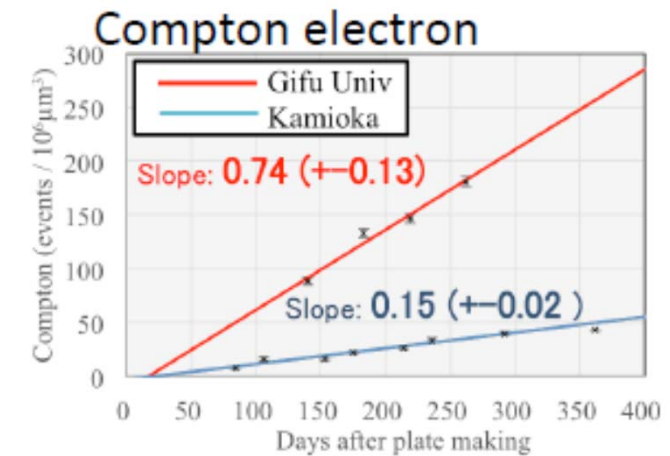
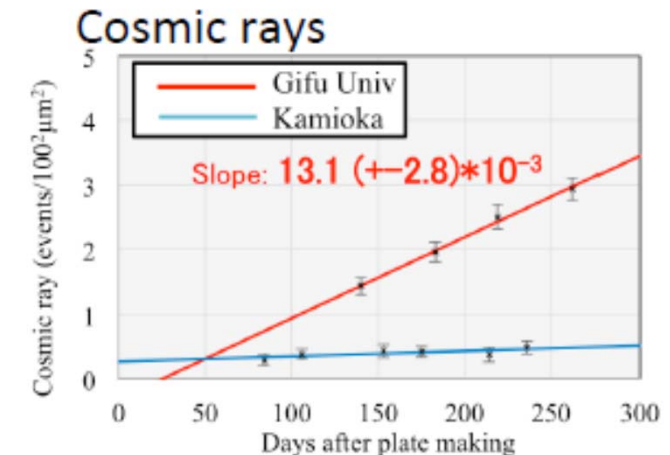
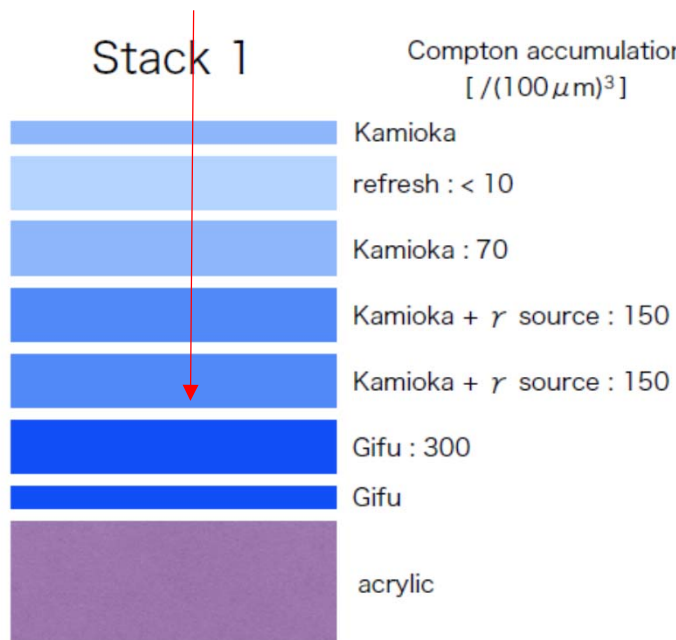
at Ξ^- capture in Ag/Br atoms

⇒ Ξ^- potential in the surface region

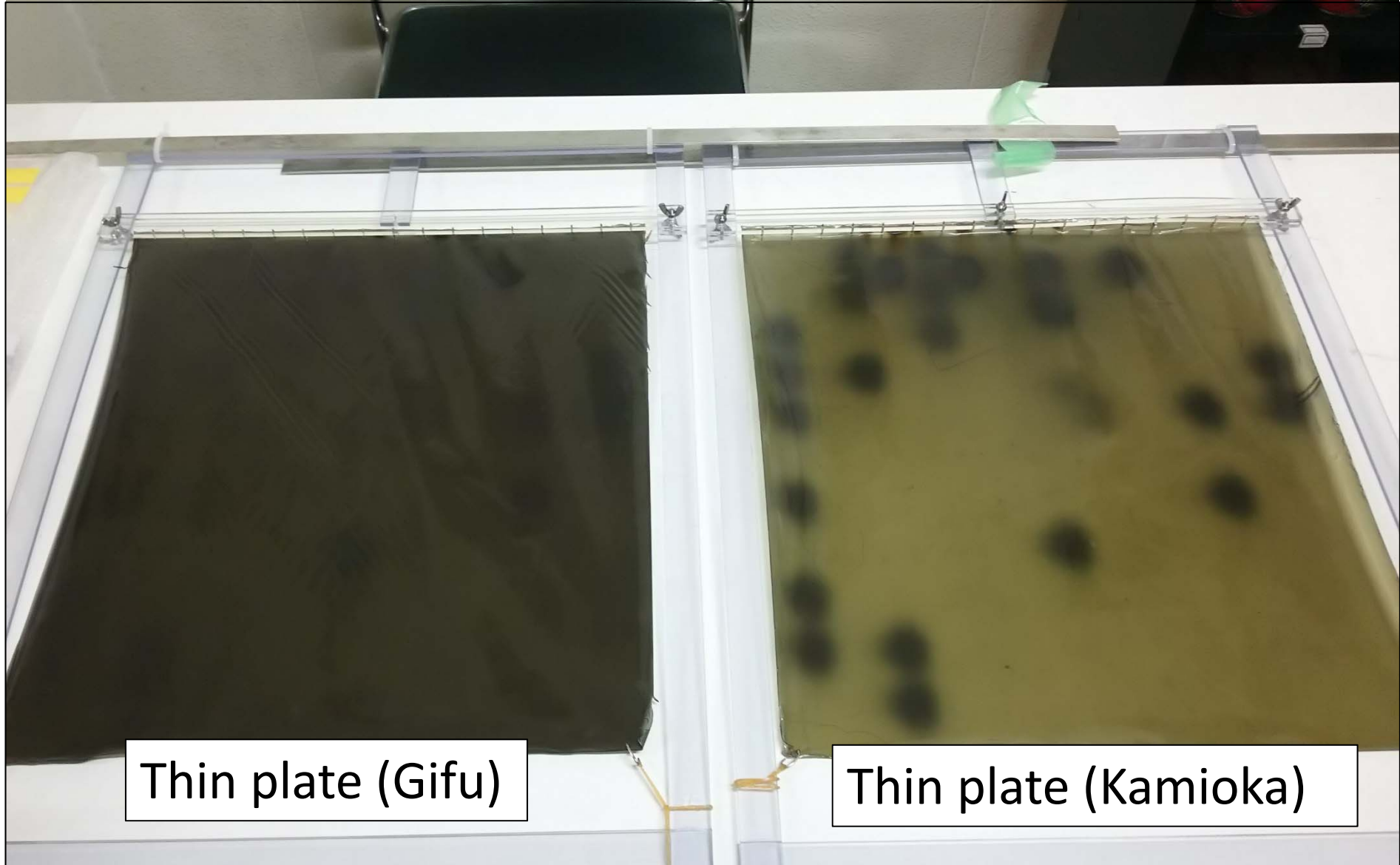
心配事(1) 潜像蓄積

エマルジョン乾板製作 2013/12 – 2014/5
神岡鉱山で保管しているが、
2017/4 までの蓄積量は

Cosmic rays: negligible
Compton electron: $180/(100\mu\text{m})^3$
E373の時は、 $\sim 120/(100\mu\text{m})^3$ 程度



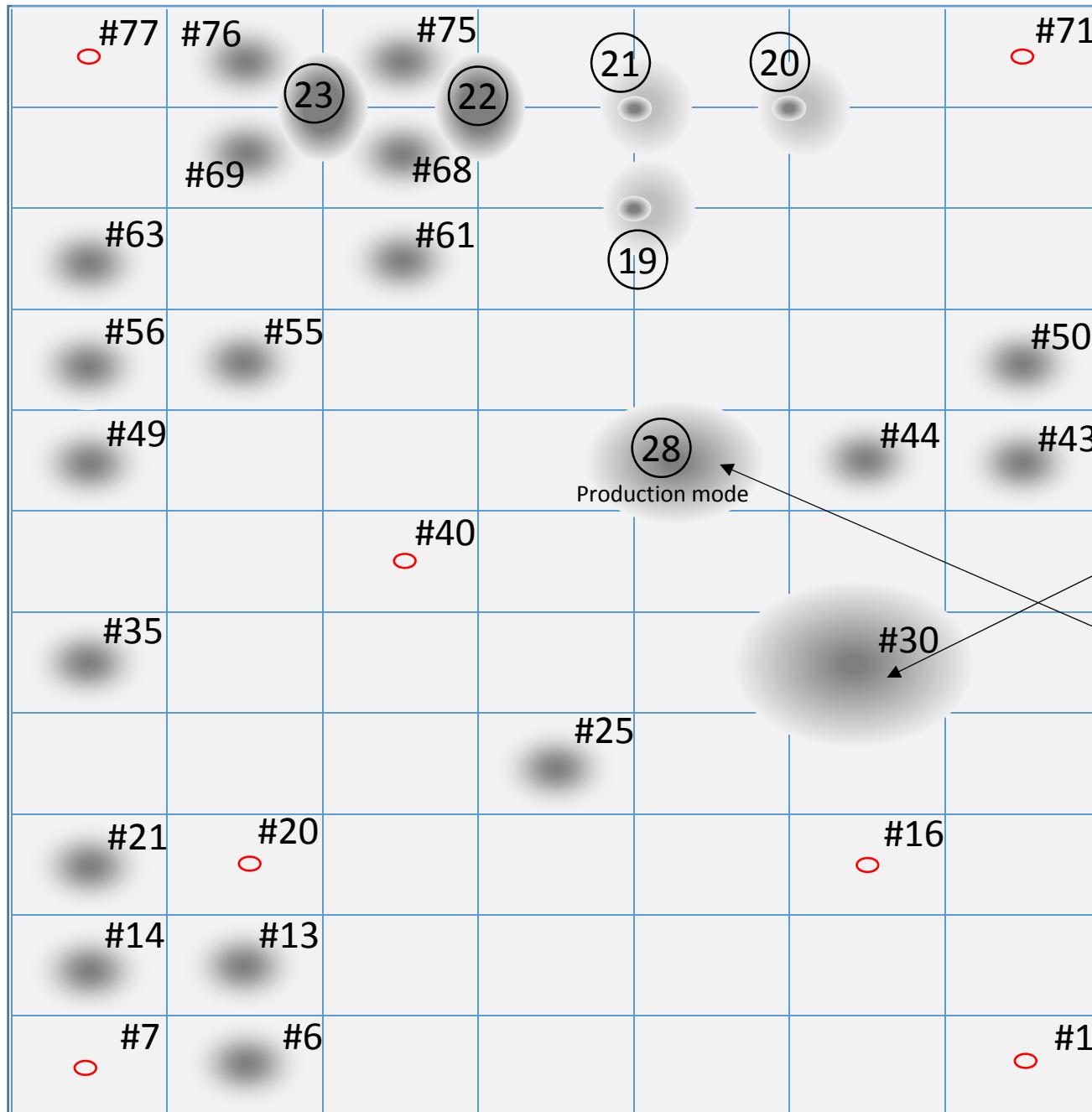
⇒ 2015/10 ランで蓄積量を変えた
乾板を用意しビーム照射



Thin plate (Gifu)

Thin plate (Kamioka)

PL01 thin plate



<Blackspot>

*#19,20,21

Halo D ~15mm

Spot Width ~4mm, Height ~3mm

*#22,23 too dark

<Dark parts>

* 10^6

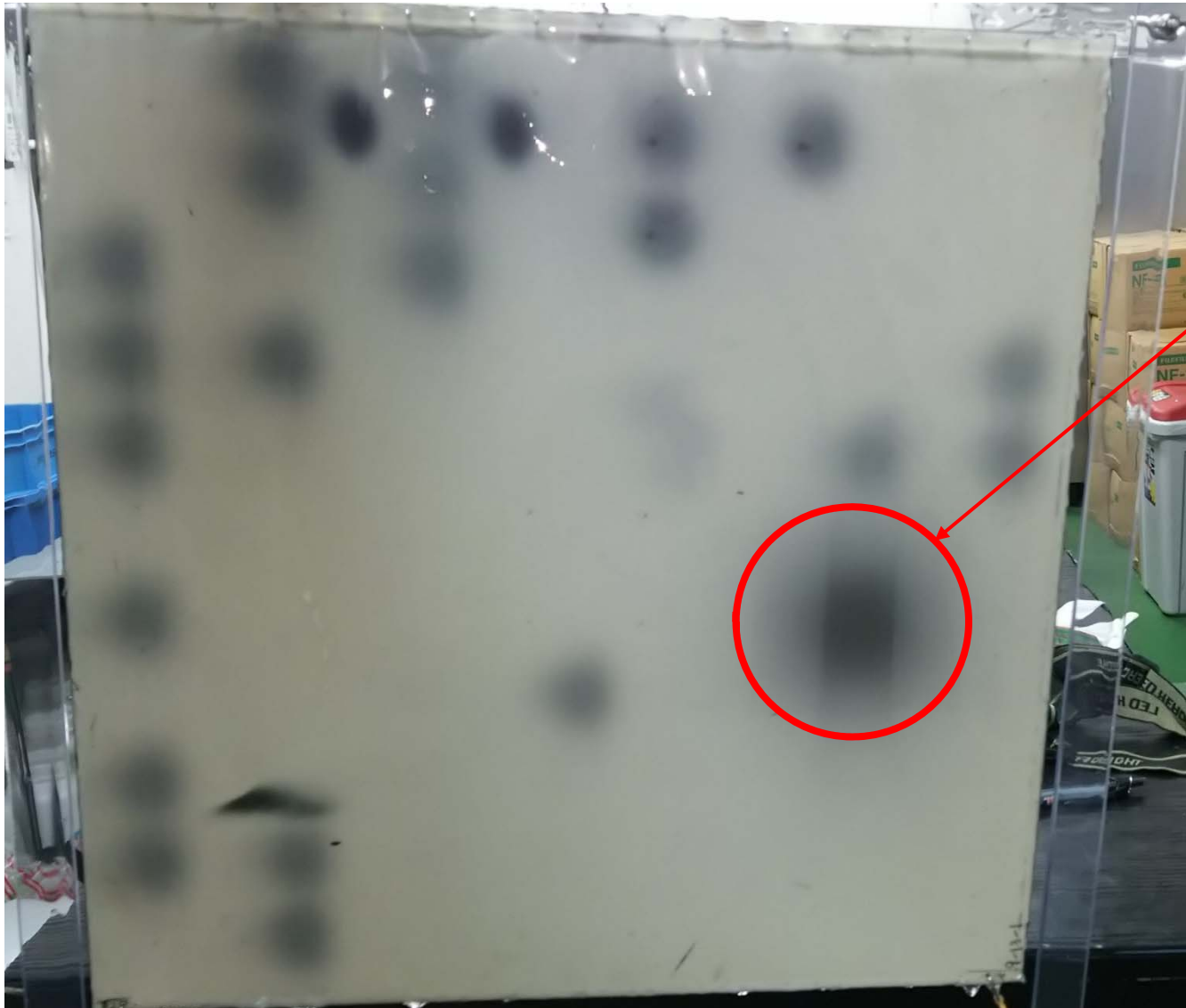
*Gamma ray by 60Co

*#28 production mode

P-bar 30spills
With collimator
Without pi-Beam

10spill = $10^3 \sim 10^4 / \text{cm}^2$
22

PL04 (Thick, Kamioka)



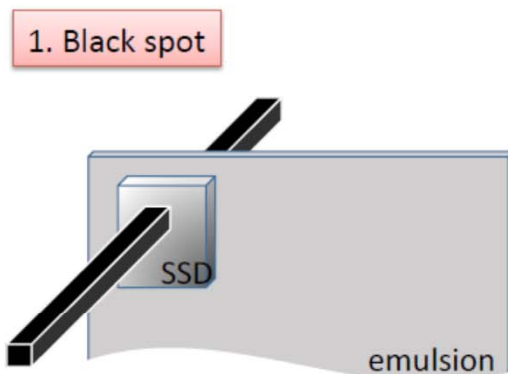
irradiated by
 ^{60}Co source
 $\sim 160/(100\mu\text{m})^3$

p_barビーム
30spillを照射
 $10^3 \sim 10^4 / \text{cm}^2$

これらを認識
できるか？
確認中

心配事(2) SSD/Emulsionの位置合わせ

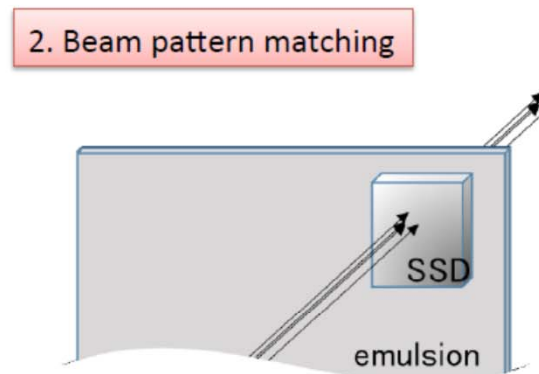
SSD-Emulsion alignment with beams : 2 step procedures



Rough alignment : ~200um accuracy

A guide toward a pattern matching region.
Can be recognized by human eyes.

Beam track density: $\sim 10^5$ tracks/mm²
=> High-intensity π beam is essential.

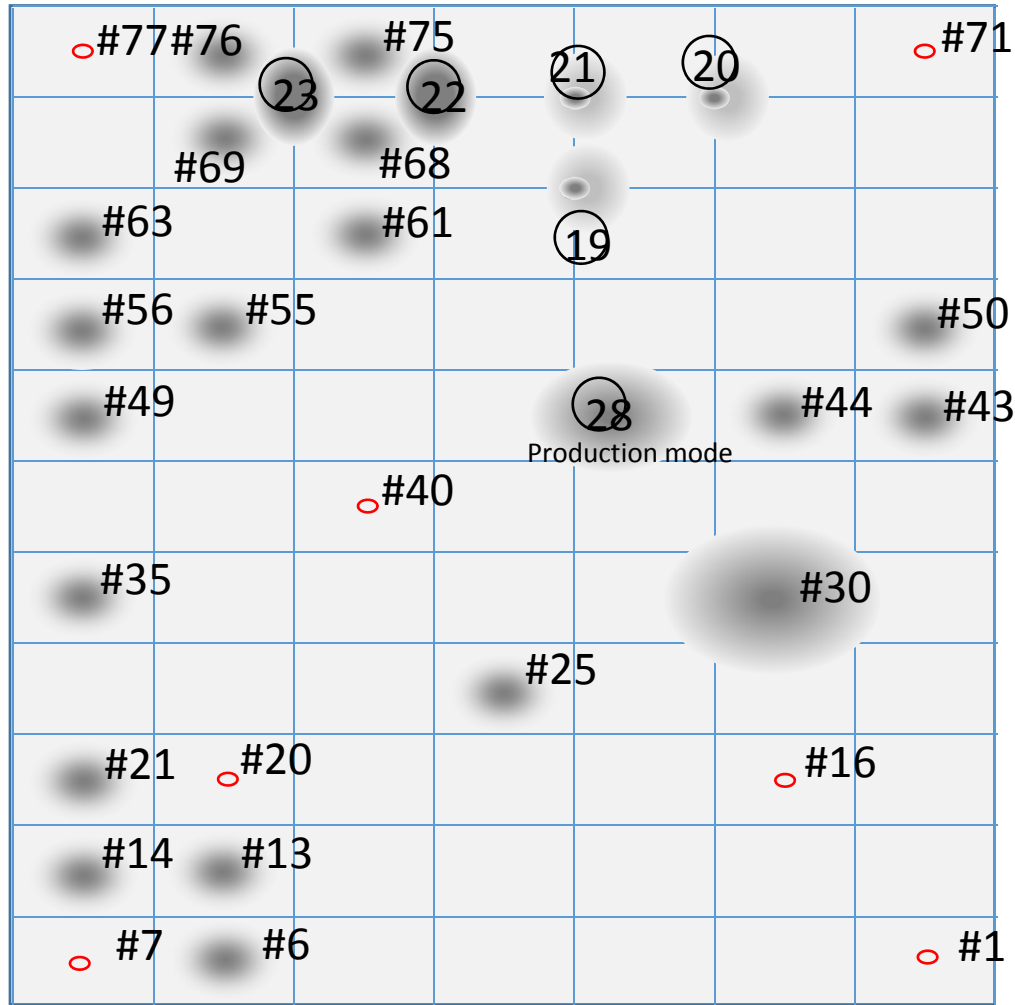


Precise alignment : ~20um accuracy

It is necessary for automated track following
over several emulsion layers.

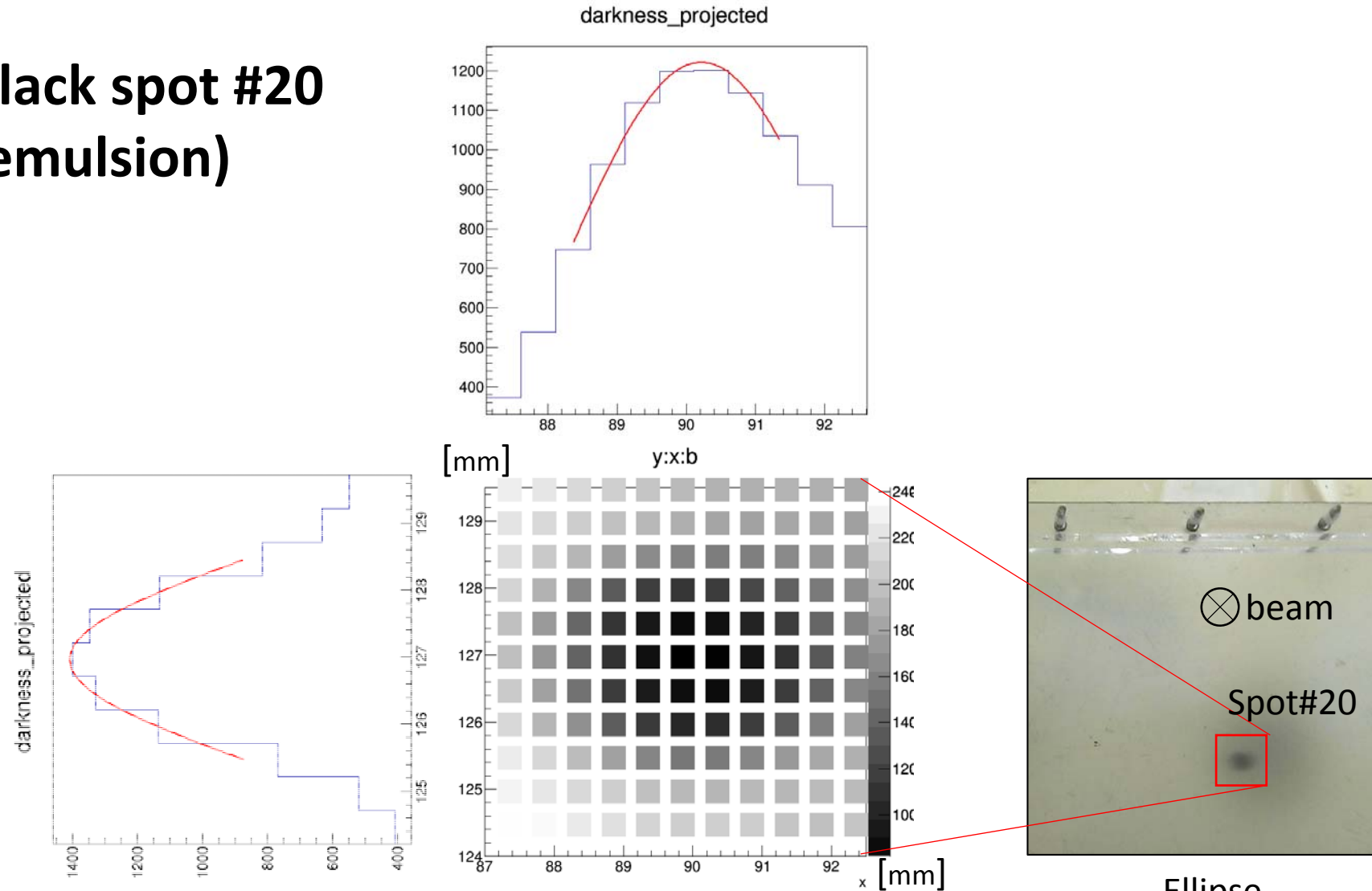
Beam track density: $\sim 10^2$ tracks/mm²
PID by track thickness and S/N ratio is important.
=> Low-momentum p bar beam is a candidate.

SSD/Emulsion 位置合わせ



1. Black-spot の位置合わせ
 - #19, #20, #21
 - X, Y, Θ
2. p_bar beam の Pattern matching
 - #1, #7, #77

Black spot #20 (emulsion)



*Projection

*Gaussian fitting:

Darkest point +- 3mm

In this case, peak is (90.22, 126.97)

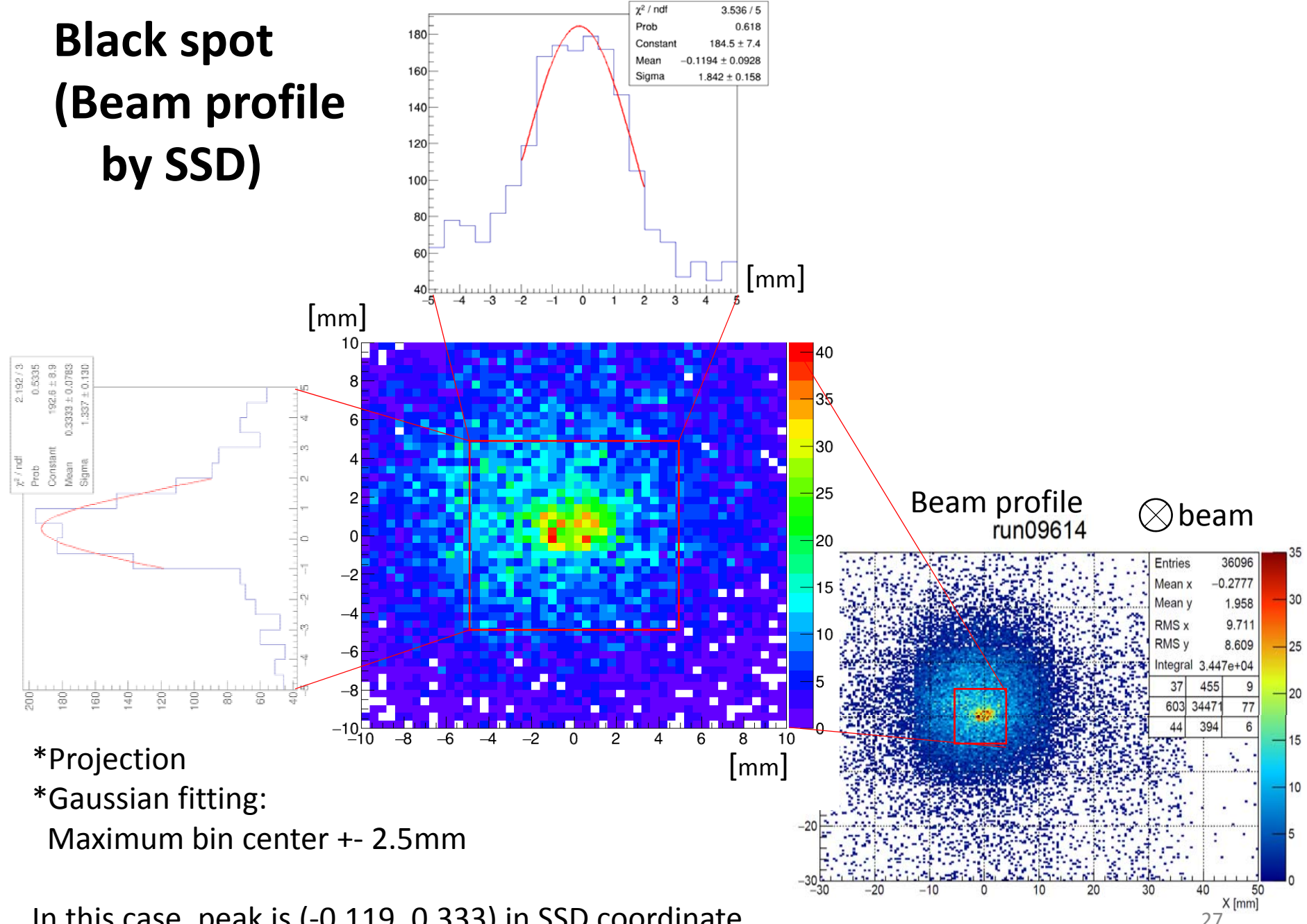
20x (F.O.V 330micron*290micron)

Pitch: 0.5mm

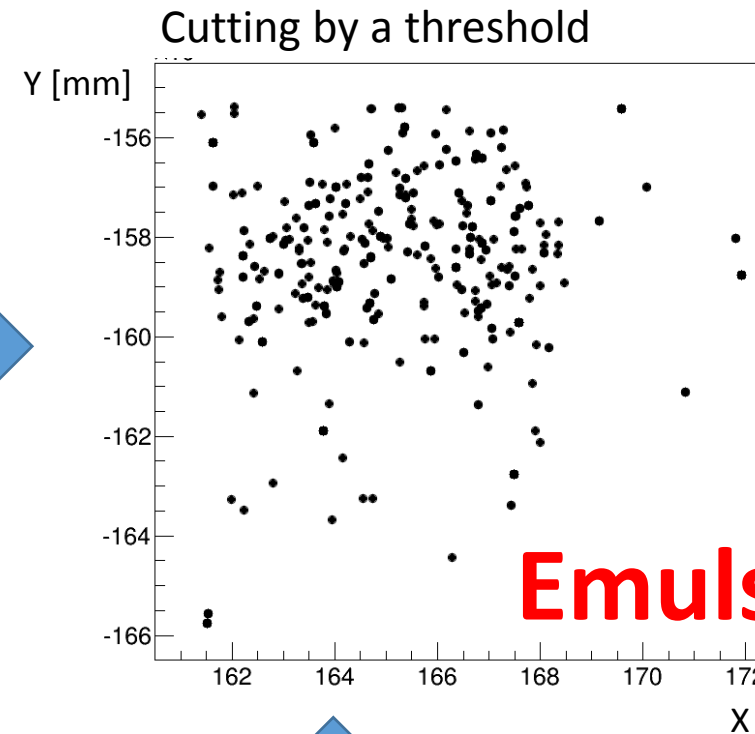
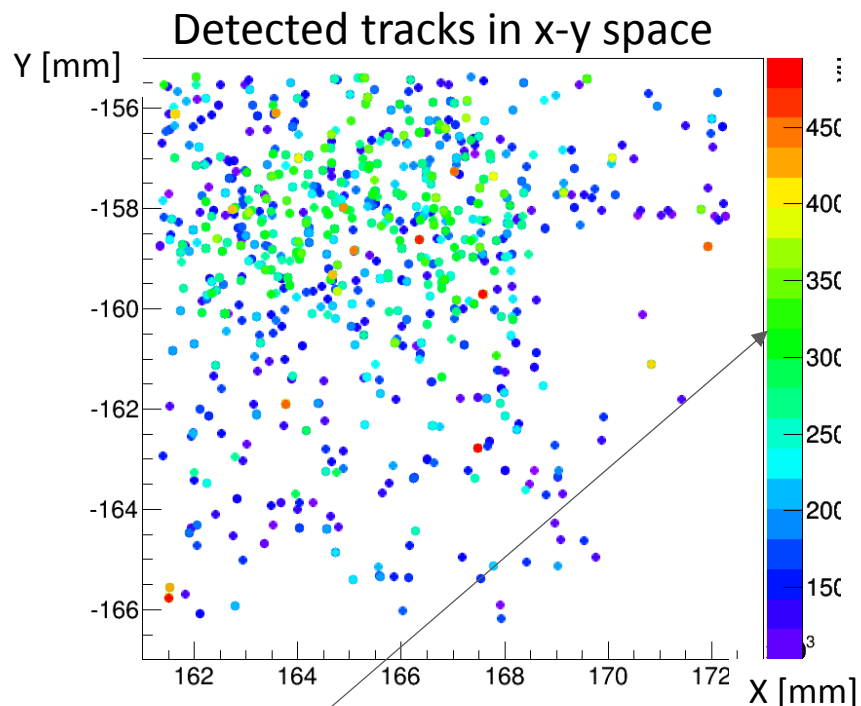
Mean brightnesses of each view

Ellipse
Width ~4mm
Height ~3mm

Black spot (Beam profile by SSD)

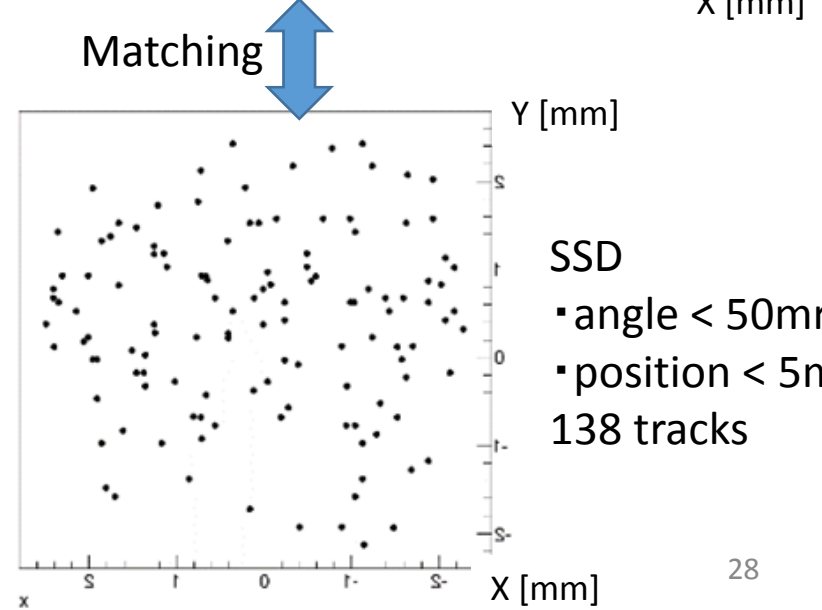
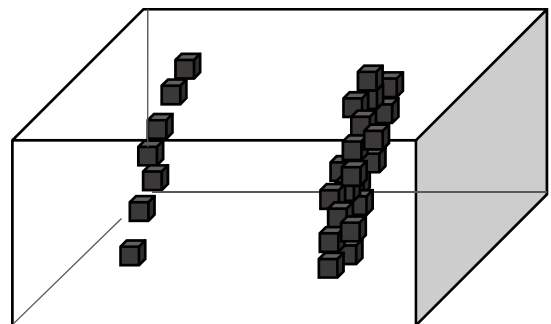


selecting p-bar track

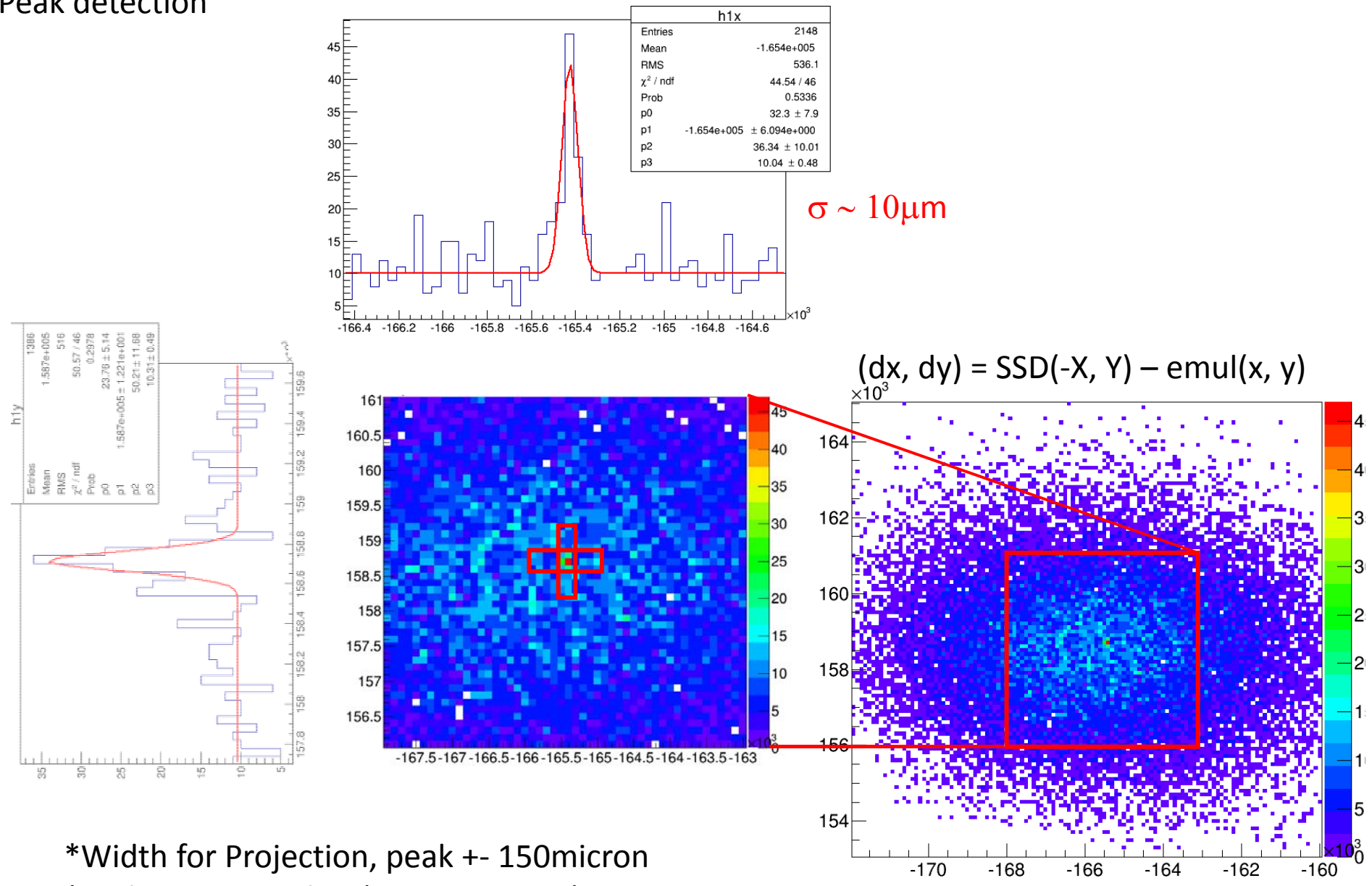


Emulsion

This value reflects number of pixels, i.e, volume and boldness of a track.



Peak detection



結果

Mapping in grid-mark coordinate

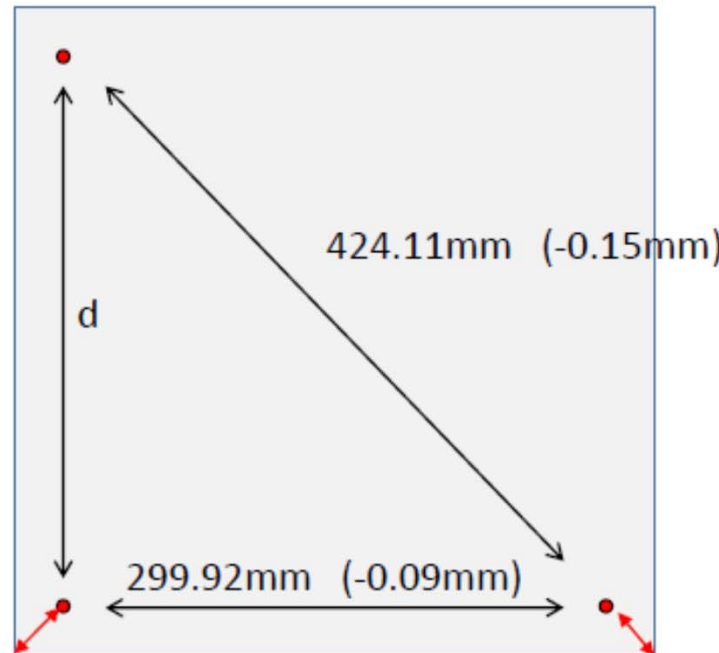
Distance "d"

300.05 mm in Mover coordinate

300.02mm in grid-mark coordinate

-0.03mm diff

100μm以下の精度で
Mover (SSD)と
grid-mark (emulsion)
の位置は一致



Peak is

(20.00, 25.10) from estimated corner

(20.06, 25.64) from actual corner

(25.00, 25.10) from estimated corner

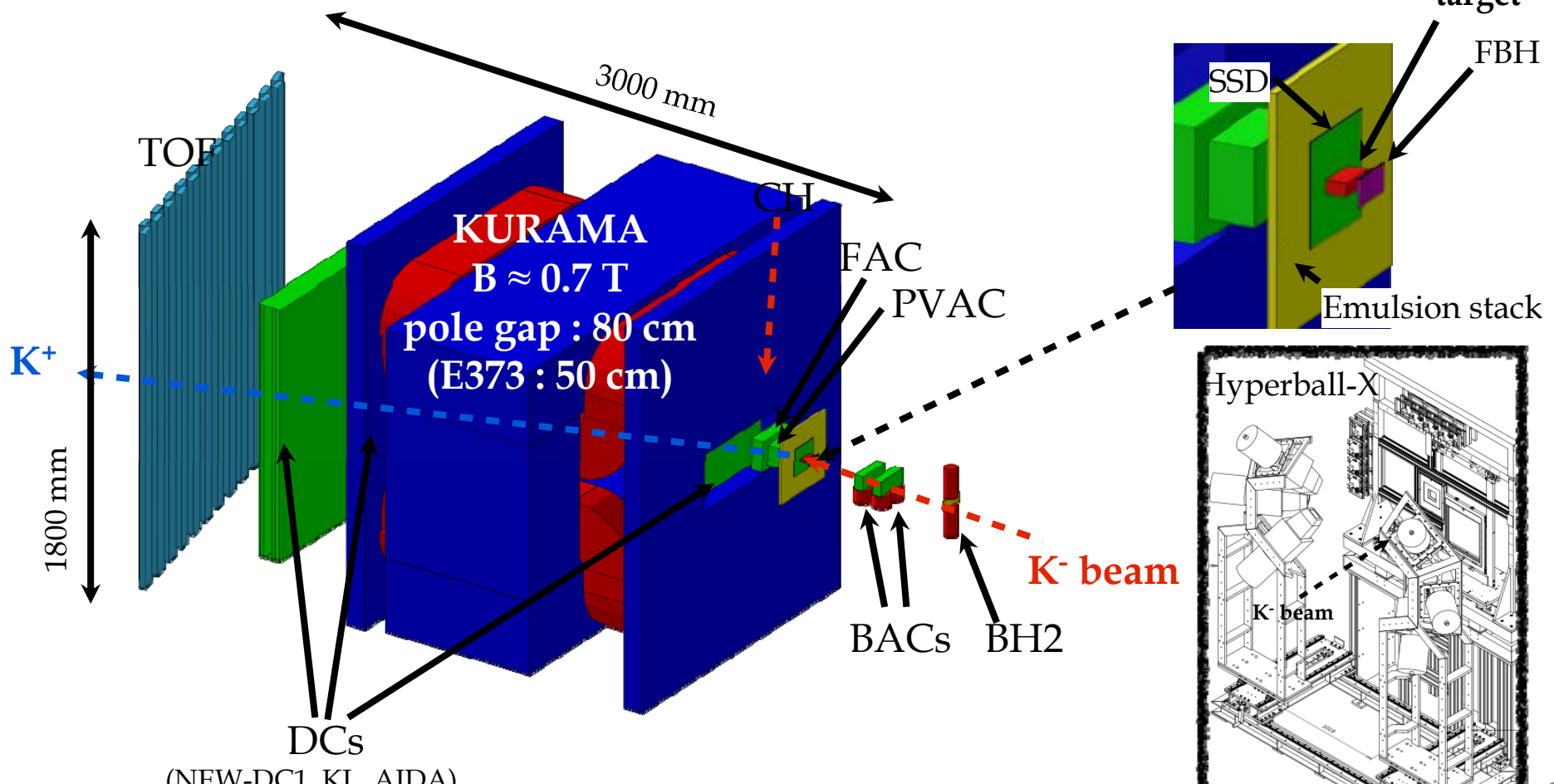
(25.67, 27.36) from actual corner

New KURAMA spectrometer

Beam : 1.67 GeV/c, $10^5 - 10^6$ K/spill → Operation with a high counting rate

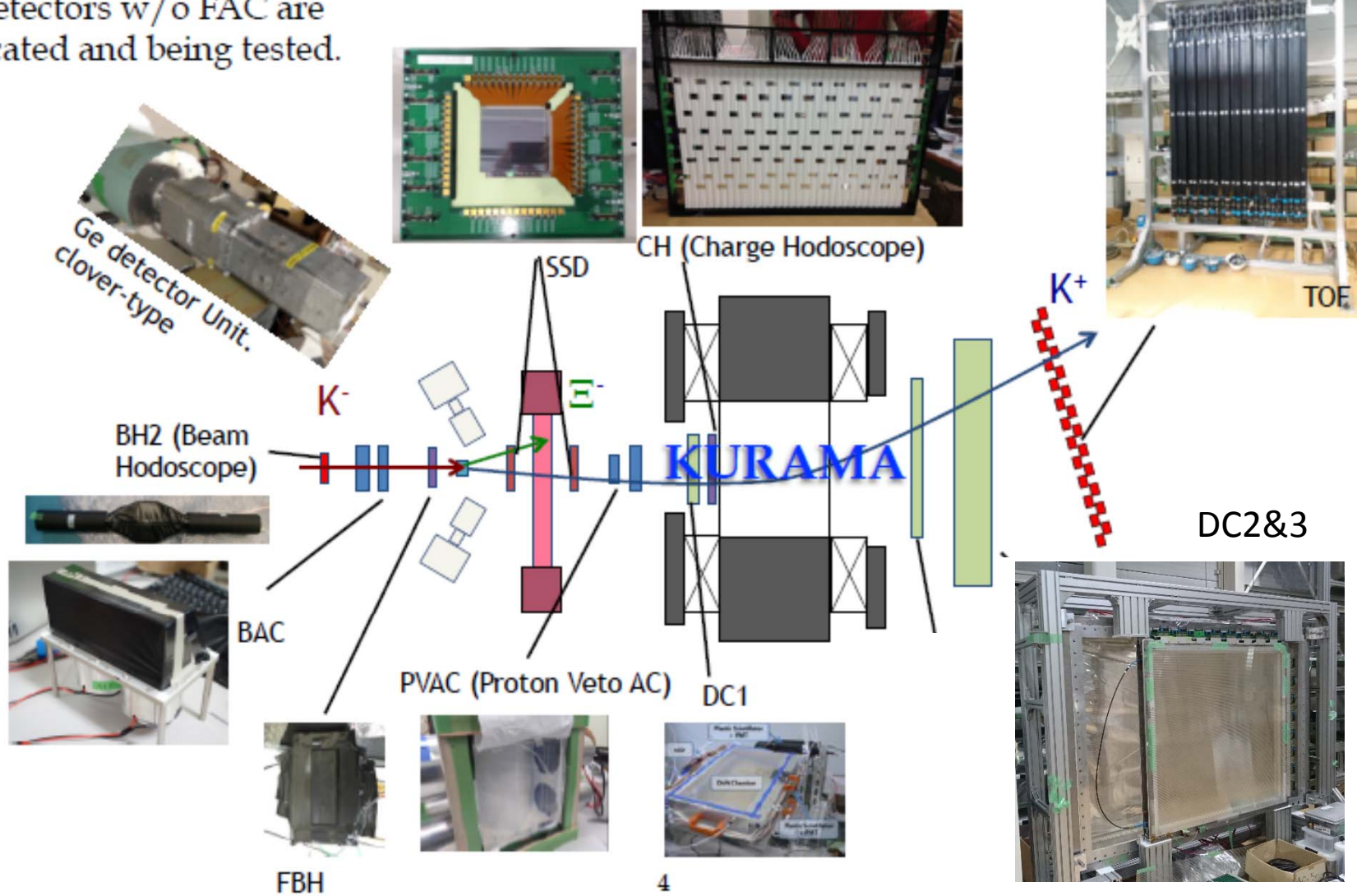
Solid angle : 280 msr (E373 : 170 msr) → Detectors w/ a large effective area

Diamond target



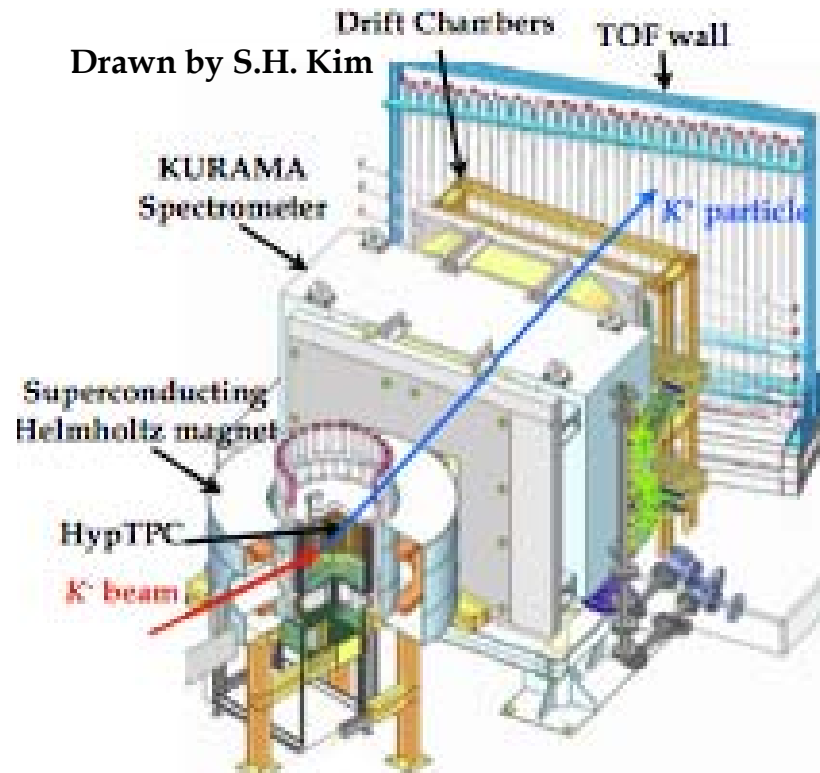
Preparation of the KURAMA spectrometer

All detectors w/o FAC are fabricated and being tested.

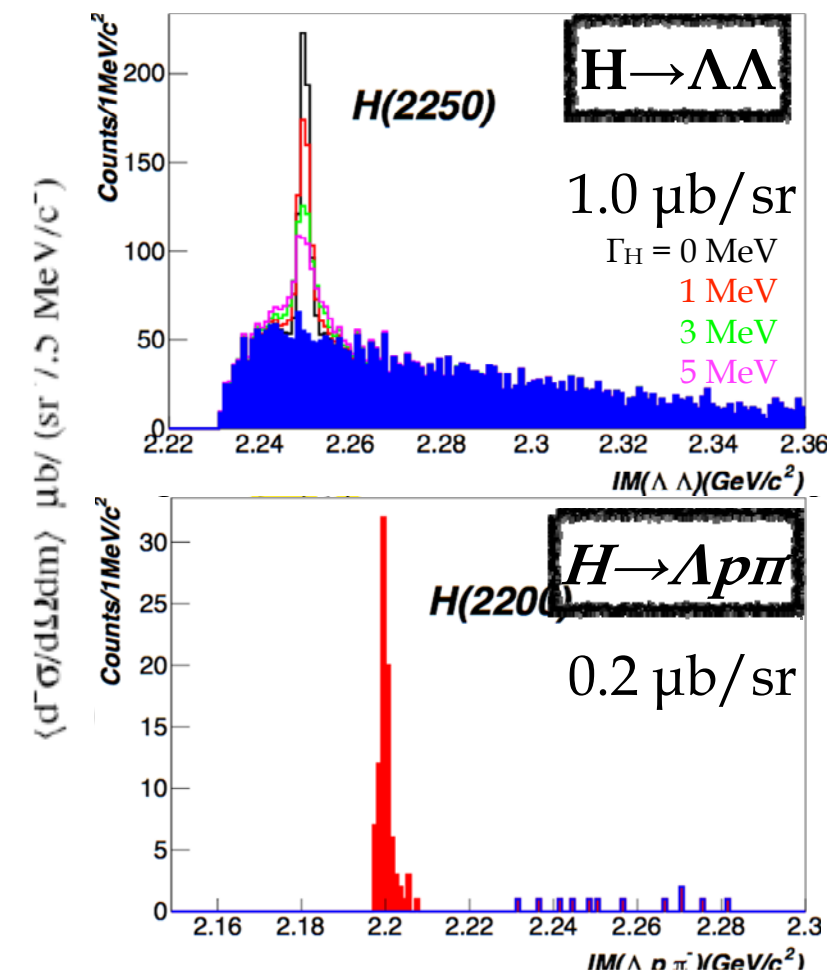


H-Particle Search with Hyp-TPC (J-PARC E42)

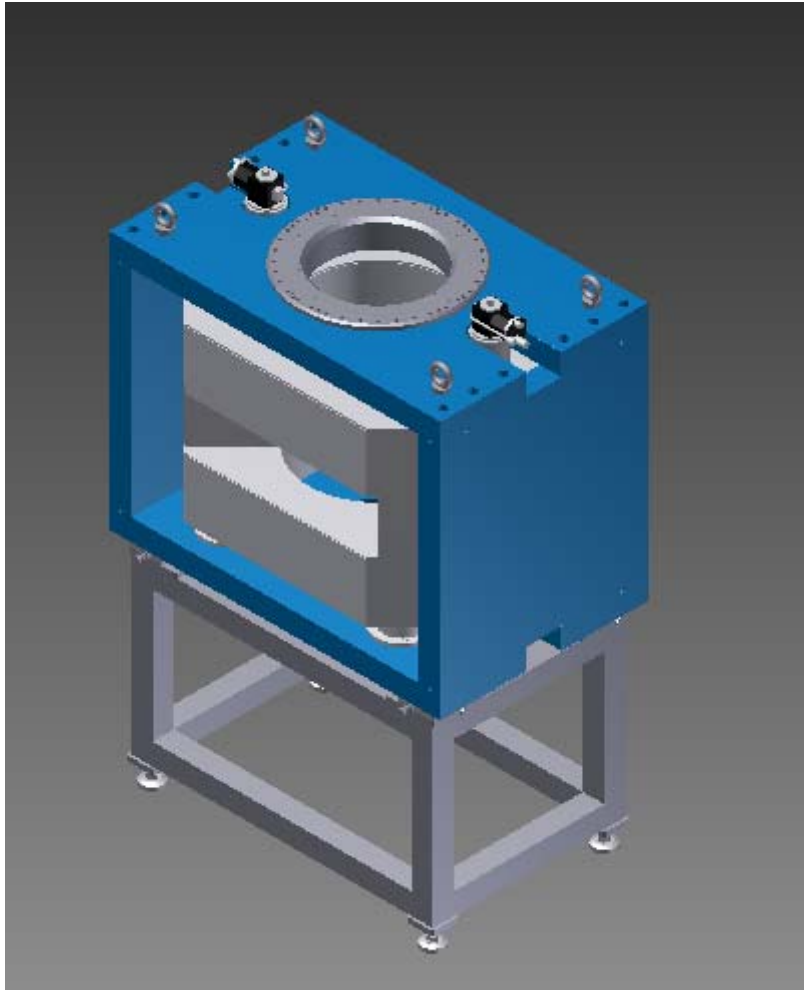
Most stable spin and isospin singlet with 6-quarks (uuddss) composed was predicted by R. L. Jaffe. We search for $H \rightarrow \Lambda\Lambda \rightarrow \pi\pi pp$ and $H \rightarrow \Lambda\pi p \rightarrow \pi\pi pp$ with Hyperon Time-Projection-Chamber **HypTPC**, Yield : 11000 $\Lambda\Lambda$



- Large Acceptance
- Target is inside TPC
- High resolution ($\sim 1 \text{ MeV}/c^2$) .



SC Helmholtz magnet



- Magnetic field at center : 1.5 T
- Conduction cooling with two GM refrigerators
- Coil diameter : 1000 mm
- Conductor : ϕ 0.77 mm, Cu/SC=2.4, PVA insulation
- Number of turns : 7259.5/ coil (78×96)
- 1 Coil length : 23.4 km
- Operation current : 99.9 A
- Total inductance : 251 H with yoke
- Weight : 10 ton (the yoke thickness of 125 mm)

(一様)磁場領域 500mm ϕ × 500mm
検出器領域 800mm ϕ × 1000mm

under fabrication by KR-tech, Deagu, Korea

Single coil test in August



Test chamber + 2 GM coolers

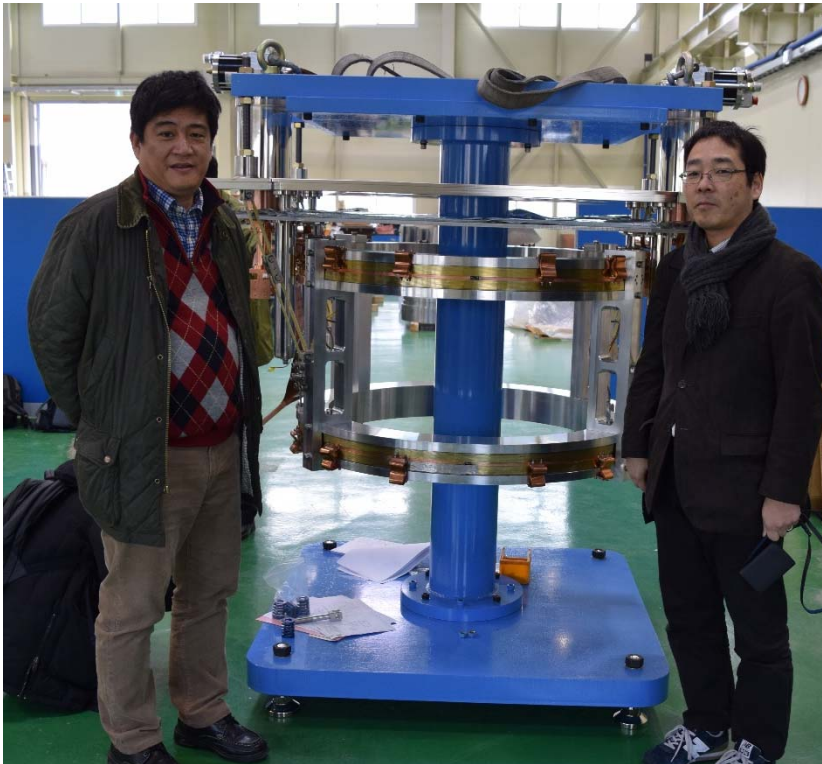
100 A 通電成功

100A/2.5 h のramping speedで 1Kの温度上昇

Coil Assembly (Nov.30)

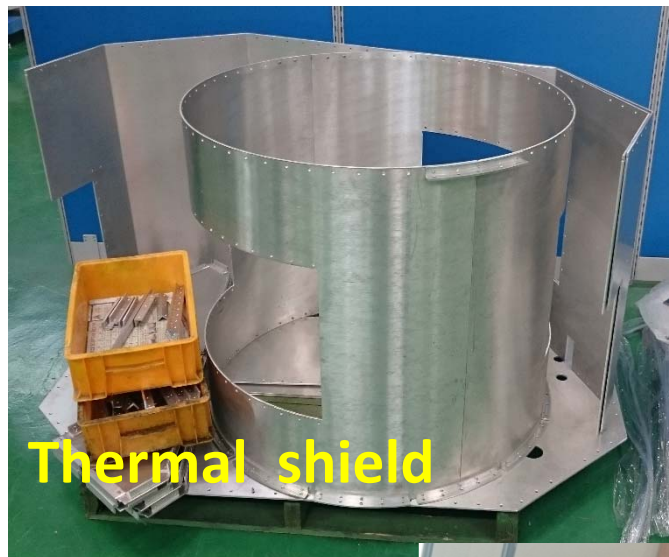


Kevlar belt support

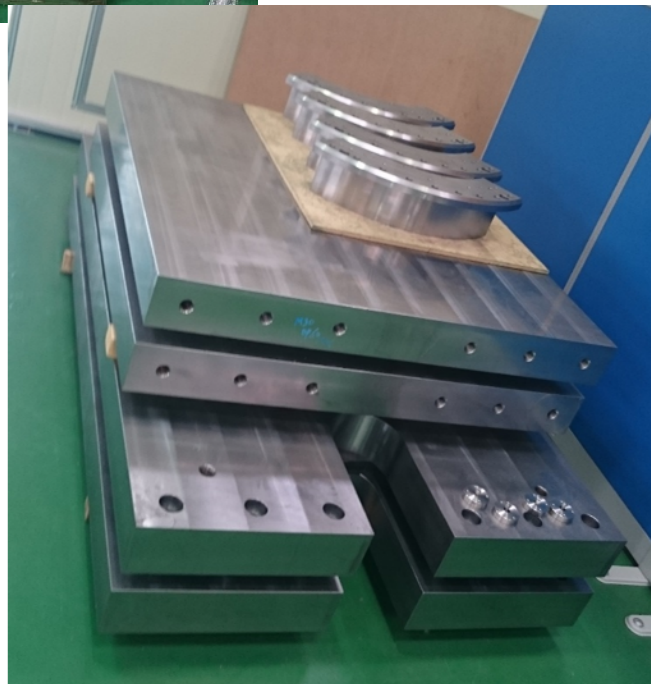


HTC current leads

Others (Nov.30)



Yoke
1010 steel



Schedule

As of August 31, 2015

Month	9	10	11	12	1	2	3
Cryocooler		→					
Cryostat/Yoke	→	→	→				
Assembling			→	→			
Magnet Test					→	➡ →	
Magnet Inspection					→	➡	
Delivery					→	→	

We need **2 compressors (air-cooled)** and
power supply
as well as storage/test space in J-PARC/Tsukuba

Σ -p scattering Exp. at J-PARC (E40)

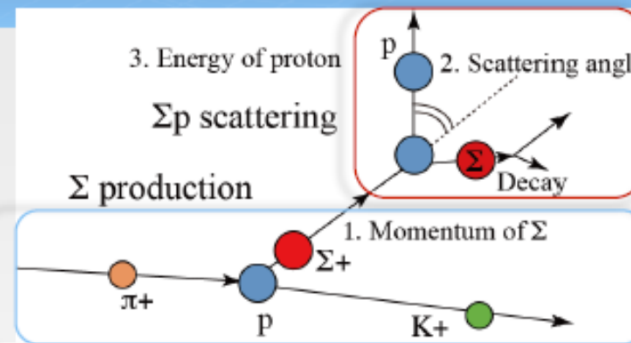
$\Sigma^+ p$ ($= \Sigma^- n$)

$\Sigma^- p$

$\Sigma^- p \rightarrow \Lambda n$

E40 detector setup concept

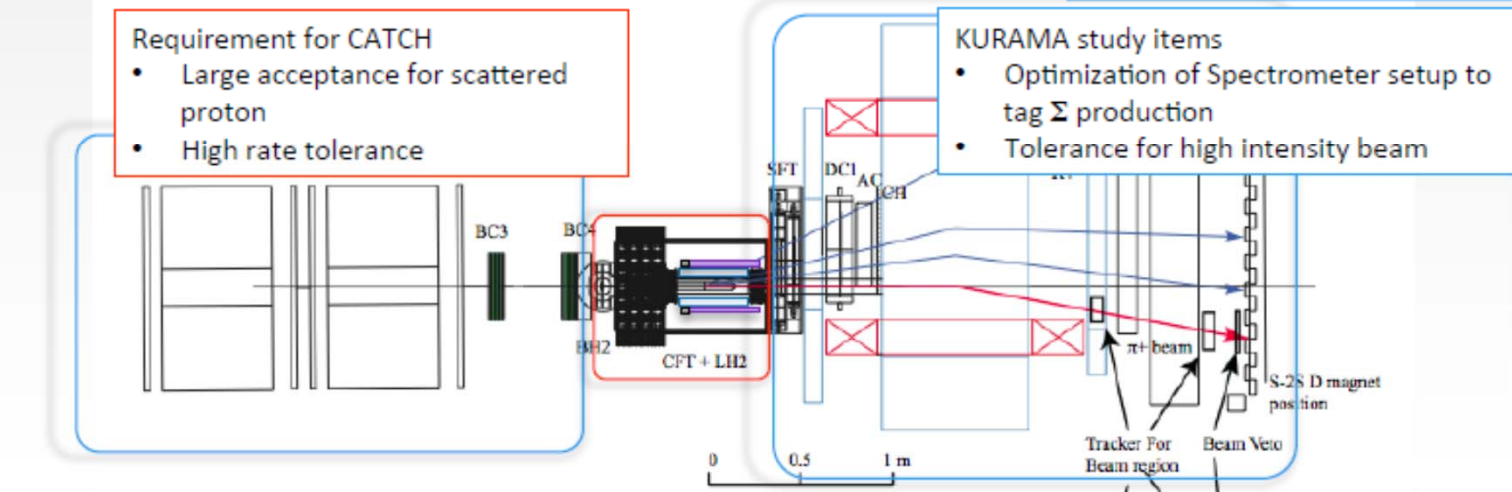
- Successive Two-body reactions
 - $\pi p \rightarrow K^+ \Sigma$ (Σ production)
 - $\Sigma p \rightarrow \Sigma p$ (Σp scattering)
- High statistics measurement of $d\sigma/d\Omega$
 - 10 MHz (20M/spill) π beam
 - Large acceptance for scattered proton



Σp scattering ID
CATCH
CFT + BGO

Σ production ID
K1.8 beamline spectrometer
+
KURAMA spectrometer

- Requirement for CATCH
- Large acceptance for scattered proton
 - High rate tolerance



- KURAMA study items
- Optimization of Spectrometer setup to tag Σ production
 - Tolerance for high intensity beam

using high-intensity (~10MHz) π beam

Summary

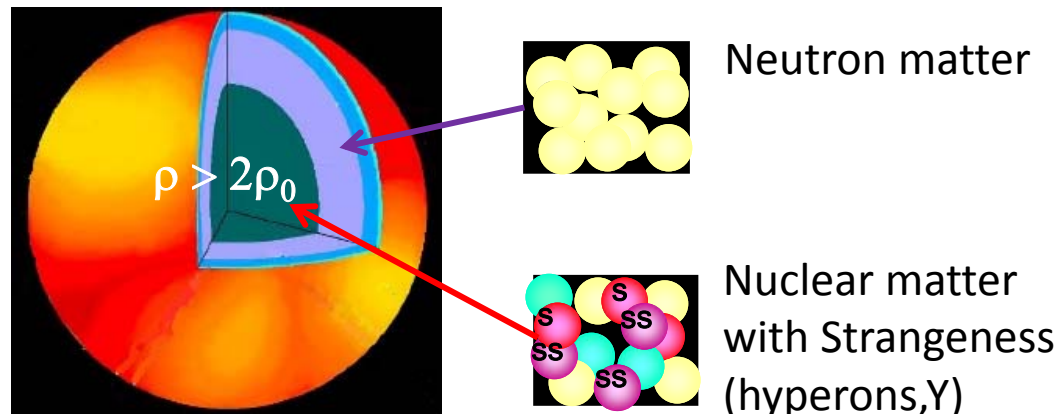
- SKSの第2ステージ(SKS@J-PARC K1.8)が終了
 - 5 experiments, >7 papers, 6 (+5) Ph.D
- Double-strangeness systemの研究本格化
 - 500k K⁻/spill, K:pion= 1:1 beam at 40kW
 - SKS → KURAMA spectrometer (2016/2 –)

J-PARCハドロン実験の1つのマイルストーンを達成

- KURAMA Spectrometerを用いての実験
 - Emulsion 実験 E07
 - SSD-Emulsion位置合わせ OK
 - Emulsionの潜像蓄積 調査中
 - KURAMA Spectrometer Installation待ち
 - H search E42 using Hyperon Spectrometer (Hyp-TPC)
 - ΣN散乱実験 E40

backup

Strangeness in the Core of N-Stars



Hyperons emerge at high density ($\rho > 2\rho_0$?)

Detail depends on the potential (interaction).

$$\mu_Y = m_Y + \frac{k_F^2}{2m_Y} + U_Y(k_F)$$

Soften of EOS



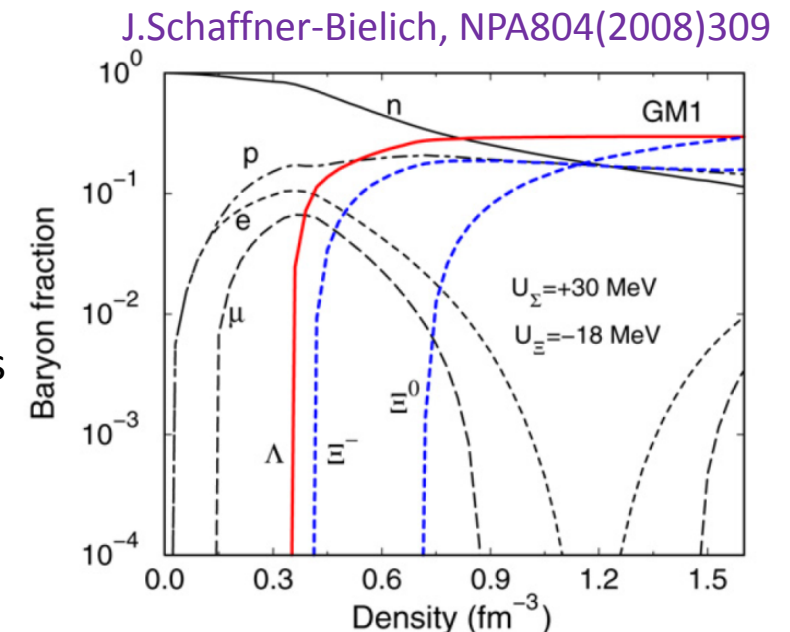
Inconsistent!?

Repulsive at high- ρ

Quark phase

...

Observation of $2M_\odot$ N-stars



Experimental determination of
YN/YY interactions
Y potential
at ρ_0 / in vacuum

Discovery of Ξ -Nucleus for the first time

– KISO Event –

In the test application of Overall Scanning Method, which is under R&D for incoming E07 Experiment, to the emulsion sample irradiated before, we found the event in which Ξ^- is deeply bound in ^{14}N . This is the first evidence of Ξ -nucleus

The image shows a scanning electron micrograph (SEM) of an emulsion sample. An inset diagram illustrates the nuclear reaction $\Xi^- + ^{14}\text{N} \rightarrow {}^{10}_{\Lambda}\text{Be}(\#1) + {}^5_{\Lambda}\text{He}(\#2)$. The reaction products are labeled #1, #2, #3, #4, #5, #6, #7, and #8. An Auger electron is also indicated. A red arrow points to track #1. An inset schematic shows three particles (a blue sphere, a green sphere, and a purple sphere) forming a cluster labeled Ξ^- . A scale bar indicates $10 \mu\text{m}$.

Binding energy of Ξ^-

- $> 1.11 \pm 0.25 \text{ MeV}$ c.f. 0.17 MeV (atomic orbit)
- $4.38 \pm 0.25 \text{ MeV}$ if ${}^{10}_{\Lambda}\text{Be}$ is in ground state.

Attractive ΞN interaction has been established.

In E07, ~ 100 double-strangeness events will be observed.
 \Rightarrow detailed information on $S=-2$ interaction

Newspaper (2015/1/19)

中性子星に「グザイ」存在

岐阜の仲沢和馬教授は、実験物理学と日本原子力研究開発機構、美城原などのグループは、恒星の最終形態である中性子星に含まれていることを推定している。中性子星グザイの性質を解明していくことで、宇宙星の秘密に迫る歩として注目される。

岐阜の仲沢和馬教授は、恒星の最終形態である中性子星に含まれていることを推定している。中性子星グザイの性質を解明していくことで、宇宙星の秘密に迫る歩として注目される。

岐阜の仲沢和馬教授は、恒星の最終形態である中性子星に含まれていることを推定している。中性子星グザイの性質を解明していくことで、宇宙星の秘密に迫る歩として注目される。